

**Barakhoyev Rashid Yunusovich** (*Public Company «Interregional Grid Company of North Caucasus», Cherkessk, Russia*) — *Director of Branch «Energosbyt»*  
**Dzhendubayev Eduard Abrek-Zaurovich** (*North-Caucasian Federal University, Cherkessk, Russia*) — *Student*

*The article proposes the mathematical model of a system consisting of a classic double-fed machine with self-excitation from capacitors (a generator) and series capacitive stabilization of voltage. The model is developed using the SimPowerSystems package. The specific features of the generator voltage regulation characteristic are revealed for different capacitances of the series capacitive voltage stabilization devices and at different load power factor values. The curves of dynamic operating modes triggered by abrupt increase and decrease of load and during a two-phase short-circuit fault are given. The calculated and experimental generator voltage regulation characteristics are presented, which corroborate adequacy of the proposed mathematical model.*

**Key words:** *double-fed machine, series capacitive voltage stabilization, capacitive self-excitation, computer-aided designing, SimPowerSystems, MATLAB*

#### REFERENCES

1. Balagurov V.A., Galteyev F.F. *Elektricheskiye generatory s postoyannymi magnitami* (Electric generators with asynchronous generators). Moscow, Energoatomizdat, 1988, 280 p.
2. But D.A. *Beskontaktnye elektricheskiye mashiny* (Contactless electric machines). Moscow, Publ. «Vysshaya shkola», 1990, 416 p.
3. Alyushin G.N., Toroptsev N.D. *Asinkronnye generatory povyshennoi chastoty* (Asynchronous generators constant frequency). Moscow, Publ. «Mashinostroyeniye», 1974, 352 p.
4. Toroptsev N.D. *Asinkronnye generatory avtonomnykh sistem* (Asynchronous generators of autonomous systems). Moscow, Publ. «Znak», 1998, 288 p.
5. Barakhoyev R.Yu., Dzendubayev E.A.-Z. *Eksperimental'nye issledovaniya posledovatel'noi emkostnoi stabilizatsii...* — XV Mezhdunarod. konf. «Elektromekhanika, elektrotehnologii, elektrotehnicheskiye materialy i komponenty» (Experimental studies of serial capacitive stabilization... XV Intern. Conf. «Electromechanics, electrotechnologies, electrotechnical equipment and components». Alushta, 21–27 September 2014, pp. 303–305).
6. Dzhendubayev A.-Z.P., Barakhoyev R.Yu., Dzendubayev Z.A.-Z. *Elektrichestvo* — in Russ. (Electricity), 2013, No. 7, pp. 46–51.
7. Chernykh I.V. *Modelirovaniye elektricheskikh ustroystv v MATLAB, SimPowerSystem i Simulink* (Simulation of electrical devices in MATLAB, SimPowerSystem and Simulink). St. Petersburg, Publ. «Piter»; Moscow, Publ. «DMK-press», 2008, 288 p.
8. Barakhoyev R.Yu. *Materialy VII Mezhdunarod. nauchnoi konf. «Tekhnicheskiye i tekhnologicheskiye sistemy* (Proc. of VII Intern. scientific conf. «Technical and technological systems»). Krasnodar, 2015, pp. 89–94.

\* \* \*

*Электричество, 2016, № 12, с. 39–43.*

## Расчет намагнченности сталей на частных петлях гистерезиса по основным магнитным параметрам предельной петли гистерезиса

САНДОМИРСКИЙ С.Г.

*На основании результатов исследований взаимосвязей между магнитными параметрами сталей скорректирована интерполяционная формула для описания изменения намагнченности сталей на симметричных частных петлях гистерезиса по основным магнитным параметрам материала — коэрцитивной силе, намагнченности технического насыщения и остаточной намагнченности, измеренным на предельной петле гистерезиса. Обоснована правомерность и приведен пример ее использования в технических расчетах.*

**Ключевые слова:** *ферромагнитные стали, намагничивание, частные петли гистерезиса, расчет, интерполяционная формула*

Ферромагнитные свойства сталей проявляются в том, что при изменении магнитного поля  $H$  их намагнченность  $M$  изменяется нелинейным и неоднозначным образом — по кривой намагничивания и петле гистерезиса [1]. Основными магнитными параметрами сталей, приводимыми в справочной литературе, являются их коэрцитивная сила  $H_c$ , намагнченность  $M_s$  технического насыщения и остаточная намагнченность  $M_r$ , измеренные на предельной петле гистерезиса. Но электро-

технические изделия из сталей (сердечники зондов, трансформаторов, датчиков) обладают размагничающим фактором [1, 2]. Поэтому материал изделий перемагничивается по частным петлям магнитного гистерезиса, которые характеризуются максимальной напряженностью  $H_m$  намагничающего поля и максимальной намагнченностью  $M_m$  (рис. 1). Не существует точной аналитической формы записи функции  $M(H)$  на предельной (кривая 1) и частных (2) петлях гистерезиса с учетом процессов

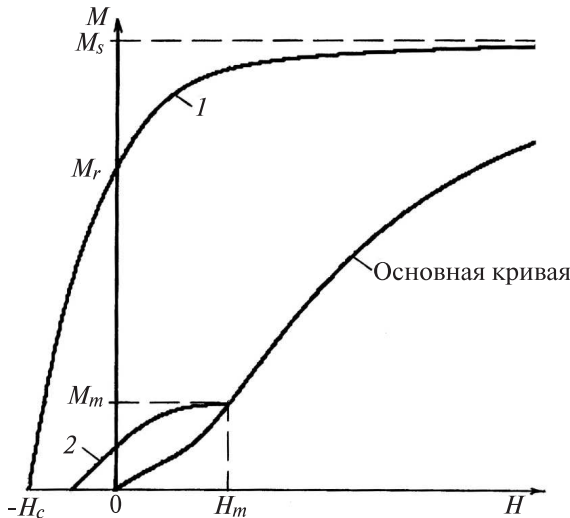


Рис. 1

формирования, роста, переориентации магнитных доменов. Достоверная интерполяция зависимости  $M(H)$  не сложной алгебраической функцией позволяет исключить громоздкие итерационные расчеты и графические построения при анализе распределения поля и намагниченности в ферромагнитных телах.

Важность построения такой функции обусловлена и тем, что изменения намагниченности сталей на частных петлях магнитного гистерезиса используют в качестве параметра контроля напряженного состояния трубопроводов и стальных конструкций [3–5]. Исследователи пришли к выводу, что элементы соответствующим образом определенных матриц магнитных переменных, основанных на измерении семейства частных петель гистерезиса, более чувствительны к напряжениям в конструкции, чем любой из традиционных параметров, измеренных на предельной петле гистерезиса [3, 4].

Цель статьи: разработка достоверной формулы, описывающей изменение намагниченности сталей на частных петлях гистерезиса по основным магнитным параметрам материала — коэрцитивной силе  $H_c$ , намагниченности  $M_s$  технического насыщения и остаточной намагниченности  $M_r$ , измеренным на предельной петле гистерезиса; обоснование того, что все «специфичные» изменения намагниченности сталей на частных петлях магнитного гистерезиса обусловлены только максимальной напряженностью намагничивающего поля и изменениями параметров предельной петли гистерезиса.

Эксперименты [6] показали, что наиболее точно зависимость  $M(H, H_m)$  сталей на ветвях частных петель гистерезиса описывает формула [7], имеющая следующую компактную запись (знак «+» относится к нисходящей ветви, знак «—» — к восходящей):

$$M = \chi_a \frac{H_c^2 H}{H^2 + H_c^2} + \frac{M_s}{\pi} \frac{H_m^2}{H_m^2 + kH_c^2} \times \left[ 2 \operatorname{arctg} \frac{H_c \pm H}{H_0} - \sum_{n=0}^{\infty} \operatorname{arctg} \frac{H_c + (-1)^n H_m}{H_0} \right], \quad (1)$$

где  $M$  — намагниченность материала в поле  $H$  на ветви петли гистерезиса после намагничивания в поле  $H_m$ ;  $K_s = M_r / M_s$ ;  $T = \operatorname{tg}(\pi K_s / 2)$ ;  $H_0 = H_c / T$ ;  $k = \frac{M_s \operatorname{arctg}(2T)}{\pi(M_c - \chi_a H_c / 2)}$ ;  $\chi_a$  — начальная магнитная восприимчивость;  $M_c$  — намагниченность по основной кривой намагничивания при  $H_m = H_c$ .

Совокупность вершин частных петель гистерезиса [формула (1) при  $H = \pm H_m$ ] представляет собой основную кривую намагничивания стали [7]:

$$M_m = \chi_a \frac{H_c^2 H_m}{H_m^2 + H_c^2} + \frac{M_s}{\pi} \frac{H_m^2}{H_m^2 + kH_c^2} \times \sum_{n=0}^{\infty} (-1)^n \operatorname{arctg} \frac{H_c + (-1)^n H_m}{H_0}. \quad (2)$$

Однако применение (1) при расчете  $M(H, H_m)$  невозможно из-за присутствия в (1) параметра  $M_c$ , отсутствующего в справочниках по магнитным свойствам сталей. Кроме того, значения  $\chi_a$  сталей в литературе приводятся реже, чем  $H_c$ ,  $M_r$  и  $M_s$ . Результаты измерений  $\chi_a$  не всегда достоверны — следствие того, что измерение  $\chi_a$  надо проводить на термически размагниченном материале [8]. Не допустимы повторные измерения  $\chi_a$  на образцах, использованных для магнитных измерений.

Значения  $\chi_a$  и  $M_c$  удалось выразить через  $M_r$  и  $H_c$  [9, 10]. Для этого использованы взаимосвязи между магнитными параметрами сталей. Так, в [11] обоснована правомерность использования для современных сталей эмпирической формулы Гумлиха и Шмидта, связывающей максимальную магнитную проницаемость  $\mu_m$  сталей с их параметрами  $H_c$  и  $M_r$ :

$$\mu_m \approx (0,476 + 0,0712\tau H_c) M_r / H_c, \quad (3)$$

где размерный множитель  $\tau = 1 \text{ м/кА}$ .

В [9, 10] на основании экспериментов [6, рис. 7–9] и результатов, представленных в [12, рис. 4–9], использована связь между  $\chi_a$  и  $\mu_m$  сталей:

$$\chi_a \approx (\mu_m / 3) - 1. \quad (4)$$

На основании (3) и (4) для расчета  $\chi_a$  и  $M_c$  в [9, 10] приведены формулы:

$$M_c \approx 0,67(0,476 + 0,0712\tau H_c) M_r; \quad (5)$$

$$\chi_a \approx [0,33(0,476 + 0,0712\tau H_c) M_r / H_c] - 1. \quad (6)$$

По формулам (1), (5) и (6) зависимость  $M(H)$  на ветвях частных петель гистерезиса сталей может быть рассчитана по  $H_m$  и значениями их  $H_c$ ,  $M_s$  и  $M_r$ .

Исследования [13–16] показали, что формулы (5) и (6) требуют уточнения. Анализ [13] результатов измерения в [17]  $H_c$ ,  $M_r$  и  $\mu_m$  множества разных сталей показал, что лучшую, чем (3), точность расчета  $\mu_m$  обеспечивает формула:

$$\mu_m \approx [0,5 + 0,06\tau H_c - (0,068\tau H_c)^2] M_r / H_c. \quad (7)$$

Средняя относительная погрешность  $\bar{\delta}$  расчета  $\mu_m$  сталей по (7) менее 10%. Это в 1,58 раза меньше погрешности расчета  $\mu_m$  по (3) и меньше суммы погрешностей измерения по стандартным методикам [8] параметров, входящих в (7).

В [14, 15] установлено, что соотношение (4) нашло подтверждение для сталей, у которых  $2 \text{ кА/м} \leq H_c \leq 7,4 \text{ кА/м}$ . Данные из [12], на основании которых (4) в [9, 10] распространено на область меньших значений  $H_c$ , оказались недостоверны. Это явилось следствием того, что эксперименты по влиянию температуры отжига сталей на их магнитные свойства, результаты которых обобщены в [12] и использованы в [9, 10], проведены в открытой магнитной цепи на образцах с размагничивающим фактором  $N=0,00172 \div 0,002$ . Недопустимость использования результатов измерения  $\mu_m$  и  $\mu_a$  материала образцов в открытой магнитной цепи показана в [18].

С учетом (7) и [14, 15] в [16] установлена достоверная связь между  $\mu_a$ ,  $M_r$  и  $H_c$  сталей:

$$\mu_a \approx \frac{[0,5 + 0,06\tau H_c - (0,068\tau H_c)^2] M_r}{(2,9 + 35e^{-1,75\tau H_c}) H_c}. \quad (8)$$

Результаты статистического анализа связи достоверных результатов измерения  $\mu_a$  в [17] с результатами его расчета по (8) показали [16], что формулу (8) можно использовать для расчета  $\mu_a$  сталей по значениям  $H_c$  и  $M_r$ . Значение  $\bar{\delta} \approx 10,7\%$  при расчете  $\mu_a$  по (8) меньше суммы погрешностей из-

мерения по стандартным методикам [8] параметров, входящих в (8).

С учетом (7) и (8) в расчетах зависимости  $M(H)$  намагниченности на ветвях частных петель гистерезиса сталей совместно с формулой (1) вместо формул (5), (6) следует использовать формулы:

$$M_c \approx 0,67[0,5 + 0,06\tau H_c - (0,068\tau H_c)^2] M_r; \quad (9)$$

$$\chi_a \approx \frac{[0,5 + 0,06\tau H_c - (0,068\tau H_c)^2] M_r}{(2,9 + 35e^{-1,75\tau H_c}) H_c} - 1. \quad (10)$$

Для обоснования правомерности использования формул (1), (9) и (10) для расчета изменения  $M(H, H_m)$  намагниченности сталей на частных петлях гистерезиса на рис. 2 результаты расчета по ним сопоставлены с результатами расчета зависимости  $M(H, H_m)$  по формуле (1) [7], использующей пять магнитных параметров ( $H_c$ ,  $M_s$ ,  $M_r$ ,  $\chi_a$  и  $M_c$ ), и результатами экспериментального измерения значений  $M$  при разных  $H$  и  $H_m$  в [6, рис. 10]. Для сопоставления расчета и эксперимента использована сталь ШХ15 в состоянии поставки, имеющая следующие магнитные параметры [6, таблица]:  $H_c = 848 \text{ А/м}$ ,  $M_s = 1115 \text{ кА/м}$ ,  $M_r = 780 \text{ кА/м}$ ,  $\chi_a = 110$  и  $M_c = 290 \text{ кА/м}$ . На рис. 2, а)  $H_m = 8,37 \text{ кА/м}$ ; б)  $-1,97 \text{ кА/м}$ ; в)  $-1,04 \text{ кА/м}$ ; г)  $-0,87 \text{ кА/м}$ ;  $\times$  – эксперимент [6]; — — расчет по (1) с использованием результатов [6]; — — расчет по (1), (9) и (10) с использованием результатов измерения  $H_c$ ,  $M_s$ ,  $M_r$  стали ШХ15 [6].

Представленные на рис. 2 данные показывают, что результаты расчета зависимости  $M(H, H_m)$  по (1), (9) и (10) практически совпадают с результатами эксперимента и результатами расчета этой зависимости по формуле (1), использующей для расчета результаты измерения пяти, а не трех магнитных параметров.

Таким образом, применение формул (8) и (9) совместно с формулой (1) исключает необходимость использования параметров  $\chi_a$  и  $M_c$  для расчета намагниченности сталей на частных петлях магнитного гистерезиса. Значения  $M(H, H_m)$  на

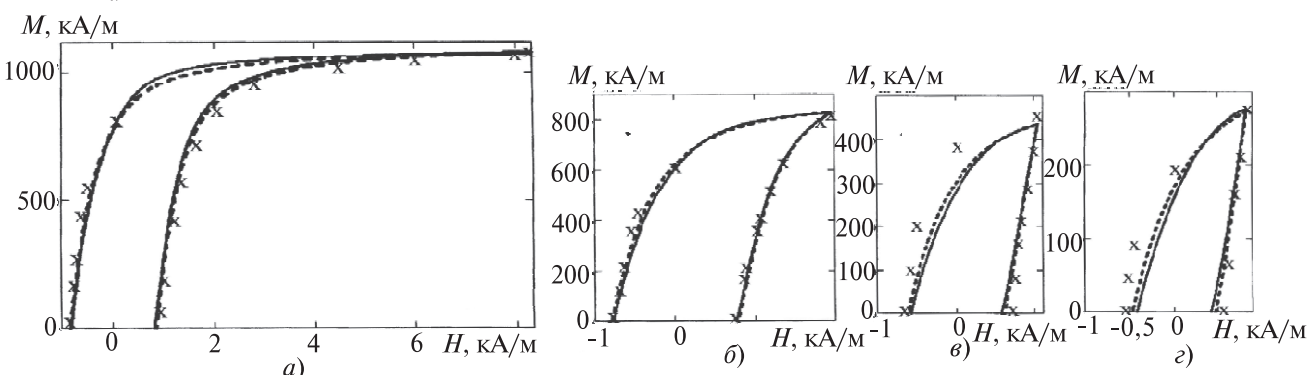


Рис. 2

любой частной петле гистерезиса могут быть с высокой достоверностью (определенной достоверностью формул (7) и (8), обоснованной в [13–16]) рассчитаны лишь по  $H_c$ ,  $M_s$  и  $M_r$  стали на предельной петле гистерезиса и значению  $H_m$ . Данные о значениях  $H_c$ ,  $M_s$  и  $M_r$  почти всех известных сталей приведены в справочной литературе.

В качестве примера реализации такой возможности на рис. 3 приведены результаты расчета зависимостей  $M(H, H_m)$  материала сердечников в форме эллипсоидов вращения с разным отношением  $\lambda$  осей ( $\lambda = 5, 12$  и  $20$ ) из стали 30, отожженной при  $400^{\circ}\text{C}$  после закалки от  $860^{\circ}\text{C}$  ( $H_c = 995 \text{ A/m}$ ,  $M_s = 1643 \text{ kA/m}$ ,  $M_r = 1145 \text{ kA/m}$  [17, табл. 1.1]), перемагничиваемых во внешнем магнитном поле напряженностью  $H_e = 5 \text{ kA/m}$ . Размагничивающие факторы  $N$  анализируемых эллипсоидов вращения, вычисленные по классической формуле [2]:

$$N(\lambda) = \frac{1}{\lambda^2 - 1} \left[ \frac{\lambda}{\sqrt{\lambda^2 - 1}} \ln(\lambda + \sqrt{\lambda^2 - 1}) - 1 \right], \quad (11)$$

составили, соответственно, 0,054; 0,015 и 0,00675.

Максимальные значения  $H_m$  внутреннего поля анализируемых эллипсоидов были найдены совместным численным решением уравнения (2) и классического уравнения для расчета напряженности  $H_m$  внутреннего поля в ферромагнитном теле, помещенном во внешнее магнитное поле напряженностью  $H_e$  [1, 2]:

$$H_m = H_e - NM. \quad (12)$$

Для анализируемых эллипсоидов значения  $H_m$  составили, соответственно, 481, 827 и 1145 A/m. Полученные результаты (рис. 3) показывают, что форма частных петель гистерезиса, по которым перемагничивается материал эллипсоида во внешнем поле заданной амплитуды, радикально зависит от относительного размера  $\lambda$  эллипсоида. Без разработанных формул для получения количественной оценки формы частных петель гистерезиса анализируемых

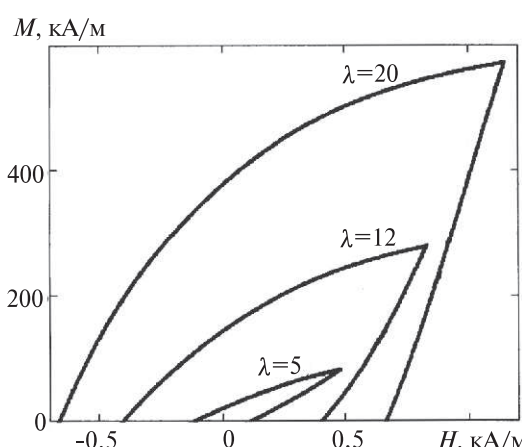


Рис. 3

эллипсоидов пришлось бы их изготавливать и проводить трудоемкие прецизионные измерения.

С использованием разработанных формул и формул [2] для расчета размагничивающих факторов ферромагнитных тел исследователь может проанализировать любые частные петли гистерезиса сердечников простой геометрической формы из любых материалов, магнитные параметры  $H_c$ ,  $M_s$  и  $M_r$ , которых приведены в справочной литературе.

#### СПИСОК ЛИТЕРАТУРЫ

- Бозорт Р. Ферромагнетизм. — М.: Изд-во иностранной литературы, 1956, 784 с.
- Сандомирский С.Г. Расчет и анализ размагничивающего фактора ферромагнитных тел. — Минск: Беларуская наука, 2015, 244 с.
- Tomás I. Non-destructive magnetic adaptive testing of ferromagnetic materials. — Journal of Magnetism and Magnetic Materials, vol. 268, iss. 1–2, 2004, pp. 178 – 185.
- Vertesy G., Tomás I., Meszaros I. Non-destructive indication of plastic deformation of cold-rolled stainless steel by magnetic adaptive testing. — Journal of Magnetism and Magnetic Materials, vol. 310, iss. 1, 2007, pp. 76–82.
- Горкунов Э.С., Якушенко Е.И., Задворкин С.М., Мушников А.Н. Влияние упругих деформаций на магнитные характеристики хромоникелевых сталей. — Физика металлов и металловедение, 2015, т. 116, № 2, с. 156–164.
- Мельгуй М.А., Шилдовская Э.А. Экспериментальная проверка аналитических выражений для нелинейных свойств ферромагнитных материалов. — Дефектоскопия, 1987, № 11, с. 10–18.
- Мельгуй М.А. Формулы для описания нелинейных и гистерезисных свойств ферромагнетиков. — Дефектоскопия, 1987, № 11, с. 3–10.
- ГОСТ 8.377–80. Материалы магнитомягкие. Методика выполнения измерений при определении статических магнитных характеристик. — М.: Изд-во стандартов, 1986, 21 с.
- Сандомирский С.Г. Остаточная намагнченность ферромагнитного тела, намагниченного в открытой магнитной цепи. — Дефектоскопия, 1997, № 8, с. 50–59.
- Сандомирский С.Г. Расчет кривой намагничивания и частных петель гистерезиса ферромагнитных материалов по основным магнитным параметрам. — Электричество, 2010, № 1, с. 61–64.
- Сандомирский С.Г. Расчет остаточной намагнченности сталей по результату измерения коэрцитивной силы и максимальной магнитной проницаемости. — Контроль. Диагностика, 2010, № 9, с. 38–41.
- Мельгуй М.А. Магнитный контроль механических свойств сталей. — Минск: Наука и техника, 1980, 184 с.
- Сандомирский С.Г. Структурная чувствительность максимальной магнитной проницаемости. Часть 1. Статистический анализ связи максимальной магнитной проницаемости сталей с параметрами петли гистерезиса. — Контроль. Диагностика, 2013, № 12 (186), с. 33–38.
- Сандомирский С.Г. Статистический анализ взаимосвязи между магнитной проницаемостью и коэрцитивной силой сталей. — Электричество, 2010, № 12, с. 60–63.
- Сандомирский С.Г. Оценка начальной магнитной проницаемости сталей по коэрцитивной силе и остаточной намагнченности. — Сталь, 2011, № 9, с. 57–60.
- Сандомирский С.Г. Анализ структурной чувствительности начальной магнитной проницаемости сталей. — Заводская лаборатория. Диагностика материалов, 2014, № 6, с. 29–33.
- Бида Г.В., Ничипурук А.П. Магнитные свойства термообработанных сталей. — Екатеринбург: Уральское отделение РАН, 2005, 218 с.
- Сандомирский С.Г. Анализ погрешности измерения магнитной проницаемости ферромагнитного материала в открытой магнитной цепи. — Измерительная техника, 2010, № 9, с. 57 – 61.

*Автор:* Сандомирский Сергей Григорьевич окончил физический факультет Белорусского государственного университета в 1978 г. Докторскую диссертацию «Магнитный контроль механических свойств

движущихся малогабаритных изделий» защитил в 1993 г. Доктор технических наук, главный научный сотрудник Объединенного института машиностроения Национальной академии наук Беларусь.

*Elektrichestvo (Electricity), 2016, No.12, pp. 39–43.*

## Calculating of Magnetization of Steels in Partial Hysteresis Loops Based on the Major Hysteresis Loop Main Magnetic Parameters

SANDOMIRSKII Sergei Grigor'yevich (*Unified Institute of Automobile Construction, Belarus National Academy of Sciences, Minsk, Belarus*) – *Scientific Researcher, Dr. Sci. (Eng.)*

*The interpolation formula for describing the change of steel magnetization degree in symmetrical partial hysteresis loops is modified based on the results from studying interrelations between the magnetic parameters of steels. The material's main magnetic parameters from which the change of steel magnetization degree is determined according to the formula include the coercive force, magnetization at the technical saturation level, and residual magnetization, all measured on the major hysteresis loop. The validity of the formula is substantiated, and an example of using it in engineering calculations is given.*

**К e y w o r d s :** ferromagnetic steels, magnetization, partial hysteresis loops, calculation, interpolation formula

### REFERENCES

1. Bozort R. *Ferromagnetizm* (Ferromagnetism). Moscow, Publ. «Inostrannaya literatura», 1956, 784 p.
2. Sandomirskii S.G. *Raschet i analiz razmagnichivayushchego faktora ferromagnitnykh tel* (The calculation and analysis of the demagnetization factor of ferromagnetic bodies). Minsk, Publ. «Belaruskaya navuka», 2015, 244 p.
3. Tomás I. Non-destructive magnetic adaptive testing of ferromagnetic materials. — Journal of Magnetism and Magnetic Materials, vol. 268, is. 1–2, 2004, pp. 178 – 185.
4. Vertesy G., Tomás I., Meszaros I. Non-destructive indication of plastic deformation of cold-rolled stainless steel by magnetic adaptive testing. — Journal of Magnetism and Magnetic Materials, vol. 310, is. 1, 2007, pp. 76 – 82.
5. Gorkunov E.S., Yakushenko E.I., Zadvorkin S.M., Mushnikov A.N. *Fizika metallov i metallovedeniye* — in Russ. (Physics of Metals and Metallography), 2015, vol. 116, No. 2, pp. 156–164.
6. Mel'gui M.A., Shidlovskaya E.A. *Defektoskopiya* — in Russ. (Fault Detection), 1987, No. 11, pp. 10–18.
7. Mel'gui M.A. *Defektoskopiya* — in Russ. (Fault Detection), 1987, No. 11, pp. 3–10.
8. Standard 8.377–80. Soft magnetic materials. The measurement procedure in determining the static magnetic characteristics. Moscow, Standards Publishing House, 1986, 21 p.
9. Sandomirskii S.G. *Defektoskopiya* — in Russ. (Fault Detection), 1997, No. 8, pp. 50–59.
10. Sandomirskii S.G. *Elektrichestvo* — in Russ. (Electricity), 2010, No. 1, pp. 61–64.
11. Sandomirskii S.G. *Kontrol'*. *Diagnostika* — in Russ. (Control. Diagnostics), 2010, No. 9, pp. 38–41.
12. Mel'gui M.A. *Magnitnyi kontrol' mehanicheskikh svoistv stalei* (Magnetic control of the mechanical properties of steels). Minsk, Publ. «Nauka i tekhnika», 1980, 184 p.
13. Sandomirskii S.G. *Kontrol'*. *Diagnostika* — in Russ. (Control. Diagnostics), 2013, No. 12(186), pp. 33–38.
14. Sandomirskii S.G. *Elektrichestvo* — in Russ. (Electricity), 2010, No. 12, pp. 60–63.
15. Sandomirskii S.G. *Stal'* — in Russ. (Steel), 2011, No. 9, pp. 57–60.
16. Sandomirskii S.G. *Zavodskaya laboratoriya. Diagnostika materialov* — in Russ. (Factory laboratory. Diagnosis materials), 2014, No. 6, pp. 29–33.
17. Bida G.V., Nichipuruk A.P. *Magnitnye svoistva termoorabotannykh stalei* (Magnetic properties of the heat-treated steels). Ekaterinburg, Ural Branch, Russian Academy of Sciences, 2005, 218 p.
18. Sandomirskii S.G. *Izmeritel'naya tekhnika* — in Russ. (Measuring equipment), 2010, No. 9, pp. 57–61.